



انجمن مهندسین برق و الکترونیک ایران  
شاخه‌ی تهران



## تشخیص محل خطا در خطوط انتقال EHV براساس شبکه عصبی Fuzzy ARTmap

مهندس محسن چیتساز<sup>1</sup>، دکتر حسن رستگار<sup>2</sup>

<sup>1</sup> عضو هیئت‌علمی دانشگاه آزاد اسلامی واحد علی‌آباد کتول، <sup>2</sup> عضو هیئت‌علمی دانشگاه صنعتی امیرکبیر

Rastegar@aut.ac.ir

[Saba.sanat@gmail.com](mailto:Saba.sanat@gmail.com)

چکیده: در شبکه‌های انتقال تعیین محل خطا از اهمیت خاصی برخوردار است، در این راستا روش‌های گوناگونی مورد بررسی قرار گرفته‌اند که هر کدام در جهت بهبود روش‌های پیشین گام نهاده‌اند، در این مقاله نیز سعی شده است محل وقوع خطا در شبکه‌های انتقال با استفاده از شبکه‌های عصبی کارآمد Fuzzy ARTmap که دارای ویژگی‌های مطلوب می‌باشد، تعیین گردد، در شبیه‌سازی خط انتقال از مقادیر ولتاژ و جریان خط انتقالی که در آن خطا اتفاق افتاده است، به همراه مؤلفه‌های اصلی دامنه آن استفاده شده است. نتایج بدست آمده توسط الگوهای مورد آزمون که شبکه آموزش ندیده است با الگوهای آموزش دیده شده مقایسه گردیده است و بیانگر تعیین دقیق‌تر محل خطا خواهد بود.

کلید واژه: سیستمهای قدرت، محل یابی خط، شبکه‌های عصبی، تئوری تشخیص وقوع.

قوت بیشتری گرفت، در این راستا در دهه هشتاد میلادی روش‌های گوناگونی جهت دست‌بندی خط با استفاده از داده‌های اندازه‌گیری شده در نقاط مختلف یک خط انتقال صورت گرفت، سپس توسط برخی دیگر از محققین نقاط مختلف در چندین خط مورد بررسی قرار گرفت، اغلب این روش‌ها براساس اندازه‌گیری یکی از پارامترهای اساسی ولتاژها و جریانهای یکی از انتهای خط می‌باشد که از دقت کافی برخوردار نمی‌باشد. در چنین روش‌هایی اثر مقاومت خط، زاویه رخداد خط در محاسبات در نظر گرفته نمی‌شود، همچنین دقت آنها زمانیکه شبکه از دو سو تعذیله شود، کاهش خواهد یافت، در ادامه این روش‌ها جهت توسعه، نیاز به استفاده از یک واسطه ارتباطی همزمان بین داده‌های ثبت شده در دو طرف شبکه، داشتند، سامانه موقعیت یاب جهانی (GPS) یکی از این

### ۱ - مقدمه

انرژی تولید شده همواره متاثر از رخداد خطا در شبکه‌های سه فاز می‌باشد، وجود این خطاهای در شبکه باعث عدم کیفیت مناسب انرژی برق خواهد شد و در سیستم ایجاد اختشاش خواهد نمود، لذا جایابی دقیق محل خطا به روند نگهاداری و بهبود شبکه کمک شایانی خواهد کرد، جهت دستیابی به چنین اهدافی از روش‌های مرسوم و قدیمی نمی‌توان استفاده نمود چرا که تشخیص چنین خطاهایی با توجه به امکان وقوع خطا در محلهای مختلف و شرایط رخداد خطا از دقت مناسبی برخوردار نمی‌باشد.

با ظهور منابع مبتنی بر پردازش دیجیتال این هدف که بتوان محل یابی خط را با استفاده از روش‌های دیجیتالی، بدقت آشکار نمود،



بالایی انواع خطاهای موجود را دسته‌بندی نموده و محل رخداد آنها را تعیین نماید.

## ۲- شبکه عصبی

شبکه عصبی مورد استفاده در این مقاله شبکه عصبی خانواده تئوری Adaptive Resonance Theory(ART) تشید و فقی

اعضای این خانواده بصورت کلی شامل [۳] ART1، [۴] ART2 Fuzzy [۵] ART3، [۶] ART2 Fuzzy [۷] ARTMAP، [۸] ART Fuzzy ARTmap است.

شبکه‌های ART1 و ARTMAP اکگوهای ورودی بایزی را دسته‌بندی می‌کنند و شبکه‌های ART3، ART2 Fuzzy، ART و Fuzzy ARTmap علاوه بر اکگوهای بایزی قادر به دسته‌بندی اکگوهای آنلوق نیز می‌باشند.

در این مقاله با توجه به اینکه اکگوهای ورودی به شبکه‌های مذکور در برخی موارد با چند الگو در شبکه در حین آزمون مشابهت یکسانی پیدا می‌کنند، جهت رفع چنین حالتی در لایه پیش‌پردازش شبکه عصبی Fuzzy ARTmap از رابطه مورد نظر استفاده شده است. این شبکه‌ها دارای خاصیت علم فراموشی، سرعت یادگیری بالا، آموزش بصورت زمان حقیقی، آموزش بصورت با ناظر و یا بدون ناظر، استفاده همزمان از الگو و متمم الگوی ورودی است که برای آموزش و آزمون انتخاب شده است.

## ۳- شبکه عصبی

شبکه مذکور دارای الگوریتم آموزش باناظر است که منطق فازی و تئوری تشید و فقی را با یکدیگر تلفیق می‌کند. از این شبکه عصبی جهت تشخیص دسته‌بندی الگو و نگاشت چند بعدی بازی بردارهای ورودی، استفاده می‌شود. این شبکه از قانون آموزشی minimax بهره می‌برد. هدف از این تلفیق حداقل خطای پیشگویی همراه با حداقل فشردگی می‌باشد، بنابراین می‌توان همه اکگوها را که از دسته‌های عمومی به وجود آمده‌اند را یک شکل یا یک دسته نامید. جهت دستیابی به این موضوع از فرایند ردیابی تطبیقی استفاده شده است که در آن با افزایش پارامتر مراقبت ART (درجه فازی تابع عضویت ورودیها جهت نسبت به اکگوهای درون یک دسته) حداقل مقدار مورد نیاز جهت خطای پیشگویی صحیح تامین می‌گردد. شبکه مذکور دو شبکه بفرض

روشهای نوین که با شبکه مخابراتی ماهواره‌ای برای همزمان سازی استفاده می‌نماید، می‌باشد. با توجه به اینکه این روش از دقت بالایی برخوردار است، ولی بسیار گرانقیمت می‌باشد.

روشهای مبتنی بر شبکه‌های عصبی دارای قابلیت‌هایی می‌باشد که دقت محل‌بایی خط را بهبود خواهد بخشید. علت این امر بدینیل ظرفیت شبکه عصبی در نگاشت غیر خطی، پردازش موازی و آموزش می‌باشد. این ویژگیها به شبکه عصبی این امکان را می‌دهد که با توجه به انواع مختلف سیستمها و شرایط خطاهای دقت محل‌بایی افزایش یابد. با این وجود شبکه‌های گوناگون دارای ویژگی‌های خاصی می‌باشند که هر کدام در مواردی منجر به محل‌بایی‌های دقیقی می‌گردند. برخی از این شبکه‌ها با استفاده از شبکه‌های عصبی پرسپترون چند لایه (MLP) محل خط را با توجه به تعیین مقاومت خط مشخص نموده‌اند این شبکه‌ها بدینیل سرعت پایین آموزش زمان زیادی را برای آموزش صرف می‌کنند و آموزش آنها بصورت Off-line خواهد بود و بازی تغییر‌شرايط خط و ارائه داده جدید، کلیه داده‌ها نیز مجلداً آموزش دیده و نرونهای مجلداً تنظیم می‌گردند. برخی از این شبکه‌های چند لایه با توجه به داده‌های رخداد خط در دو انتهای خط، خطاهای موجود را دسته‌بندی نموده‌اند [۱]. شبکه‌های عصبی دیگر بکار رفته در جهت دسته‌بندی خط و جایابی آن شبکه عصبی تابع پایه‌ای شعاعی (RBF) می‌باشد [۲]، این شبکه عصبی در مقایسه با شبکه‌های عصبی پس انتشار خط و پرسپترون چند لایه از سرعت یادگیری بیشتر و افزایش فشردگی داده بهره می‌برد و متناسب با تعیین توابع مختلف از قدرت و دقت متفاوتی برخوردار است.

این مقاله طراحی و تکمیل جایابی خط را بر اساس شبکه عصبی-فازی را برای خطوط انتقال فشار قوی EHV تشریح می‌کند. در این روش از یک شبکه عصبی-فازی Fuzzy ARTmap جهت جایابی خط استفاده شده است. در این روش از مقادیر اندازه‌گیری شده شکل موج ولتاژ و جریان دو انتهای خط و مؤلفه‌های اصلی فرکانس آن استفاده شده است. این شبکه عصبی دارای قابلیت‌هایی شامل آموزش بصورت باناظر بدون ناظر، سرعت یادگیری بالا، فشرده سازی بالای داده‌ها، آموزش بصورت زمان حقیقی، عدم از منطق فازی، می‌باشد و قادر است با دقت بالایی انواع خطاهای دسته‌بندی و تا حد امکان آنها را فشرده سازی نماید.

شبیه‌سازی‌های انجام شده نشان می‌دهد این شبکه می‌تواند با دقت



بصورت یک به یک بین مسیر  $F_2^b$  و  $F^{ab}$  برقرار می‌شود. اگر هردو شبکه  $ART_a$  و  $ART_b$  فعال باشند، سپس  $F^{ab}$  فقط اگر  $ART_a$  همان دسته را در  $ART_b$  پیشگویی نماید از طریق وزنهای  $w_j^{ab}$  فعال می‌شود.

بردار خروجی  $x^{ab}$  در لایه  $F^{ab}$  از روال زیر پیروی می‌کند:

$$x^{ab} = \begin{cases} y^b \wedge w_j^{ab}, & \text{IF the } J\text{th } F_2^a \text{ node is active and } F_2^b \text{ is active.} \\ w_j^{ab} & \text{IF the } J\text{th } F_2^a \text{ node is active and } F_2^b \text{ is inactive.} \\ y^b & \text{IF } F_2^a \text{ is inactive and } F_2^b \text{ is active.} \\ 0 & \text{IF } F_2^a \text{ is inactive and } F_2^b \text{ is inactive.} \end{cases}$$

(۵-۱)

از رابطه (۵-۱)، در صورتیکه پیشگویی مشخص شده  $w_j^{ab}$  توسط  $y^b$  تأیید نشود،  $x^{ab} = 0$  خواهد بود. در چنین زمانی در شبکه  $ART_a$  الگوی بهتری را جستجو می‌نماید.

c. ردیابی تطبیقی

در زمان شروع ارائه ورودی، پارامتر مراقبت  $\rho_a$  معادل یک پارامتر مبنایی  $\rho_a$  می‌باشد، پارامتر مراقبت در لایه نگاشت معادل  $\rho_{ab}$  است

$$\text{IF } |x^{ab}| \langle \rho_{ab} | y^b | \quad (6-1)$$

سپس  $\rho_a$  تازمانیکه کمی بیشتر از  $|A \wedge w_j^a| A^{-1}$  شود، افزایش می‌یابد، در اینجا  $A$  ورودی به لایه  $F_1^a$ ، که بصورت کشیده متمم می‌باشد، و

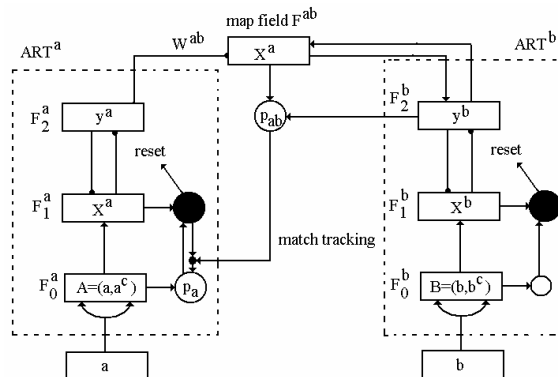
$$|x^a| = |A \wedge w_j^a| \langle \rho_a | A | \quad (7-1)$$

در اینجا،  $J$  اندیس نود فعل  $F_2^a$  می‌باشد. زمانیکه رابطه (۷-۱) برقرار شود، یا  $J$  این نود در لایه  $F_2^a$  با شرایط زیر فعل می‌شود:

$$|x^a| = |A \wedge w_j^a| \geq \rho_a |A| \quad (8-1)$$

این شبکه‌ها بطور نوعی در شکل ۱ نشان داده شده‌اند و اساساً یکسان می‌باشند [۲].

لایه نگاشت بین این شبکه‌ها  $F^{ab}$  نامیده می‌شود که مشخصات این شبکه بقرار زیر است:



شکل ۱: ساختار نوعی Fuzzy ARTmap

$ART_b$  و  $ART_a$ .

ورودی به  $ART_b$  و  $ART_a$  بصورت متمم می‌باشد: برای  $.I = B = (b, b^c)$ ،  $ART_b$ ;  $I = A = (a, a^c)$ ،  $ART_a$

متغیرهای ترتیب برای شبکه‌های  $ART_a$  و  $ART_b$  معادل "a" و "b" می‌باشد. برای  $ART_a$  بردار خروجی  $F_1^a$  و برای  $ART_b$  بردار خروجی  $F_1^b$  می‌باشد.

را بصورت  $x^a = \{x_1^a \dots x_{2Ma}^a\}$  و برای  $F_2^a$  بصورت  $w_j^a = \{w_{j1}^a, w_{j2}^a, \dots, w_{j2Ma}^a\}$  و بردار  $y^a = \{y_1^a \dots y_{Na}^a\}$  که دلالت بر  $j$ th  $ART_a$  دارد، در نظر می‌گیریم. برای  $ART_b$  بردار خروجی  $F_1^b$  را بصورت  $x^b = \{x_1^b \dots x_{2Mb}^b\}$  و برای  $F_2^b$  بصورت  $w_k^b = \{w_{k1}^b, w_{k2}^b, \dots, w_{k2Mb}^b\}$  و بردار  $y^b = \{y_1^b \dots y_{Nb}^b\}$  در نظر می‌گیریم. برای میدان نگاشت، بردار  $ART_b$  دارد، در نظر می‌گیریم. برای  $F^{ab}$  بصورت  $x^{ab} = \{x_1^{ab} \dots x_{Na}^{ab}\}$  و بردار وزنگذاری  $w_j^{ab} = \{w_{j1}^{ab}, \dots, w_{jNb}^{ab}\}$  برای  $F_2^a$  به  $F_2^b$  می‌باشد.

b. میدان نگاشت  $F^{ab}$

میدان نگاشت  $F^{ab}$  زمانیکه هر دسته از شبکه  $ART_a$  با شبکه  $ART_b$  فعل باشد، فعل خواهد بود. اگر نود  $J$  از لایه  $F_2^a$  انتخاب شود، سپس وزن آن  $w_j^{ab}$  در لایه  $F^{ab}$  فعل می‌شود. اگر نود  $K$  در  $F_2^b$  فعل شود، سپس نود  $K$  در لایه  $F^{ab}$



انجمن مهندسین برق و الکترونیک ایران  
شاخه‌ی تهران

شکل (۲): شمای تعیین محل خط با استفاده از شبکه FAM

سیگنالهای ولتاژ و جریان برای فازهای مختلف در نظر گرفته می‌شود، مقدار بدست آمده ولتاژ و جریان از ترانسها ولتاژ خازنی و ترانس جریان حاصل شده است. سیگنالهای جریان بدست آمده را بصورت دیجیتال تبدیل کرده و از تابع تبدیل فوریه گستته (DFT) بخش‌های با اهمیت سیگنالها جدعاً شده‌اند. در ادامه با استفاده از شبکه عصبی Fuzzy ARTmap جهت دسته بنایی محلهای خط و خط‌یابی از آن استفاده می‌شود [۱۱].

ابتدا شبکه عصبی را آموزش داده و فازهایی که در آنها خط رخداده است مشخص می‌شود و پس از نگاشت به محل های رخداد خط، محل های مختلف با توجه به یازده نوع خط‌یابی تعریف شده دسته بنایی می‌شود. این خط‌ها شامل (AG: فاز a به زمین، فاز b به زمین، فاز c به زمین، AB: اتصال فاز a-b، BC: اتصال فاز a-c، AC: اتصال فاز a-b-c، ACG: اتصال فاز a به زمین، BCG: اتصال فاز b به زمین، ABCG: اتصال فاز c به زمین) می‌باشند.

## ۵- لایه پیش پردازش جریانها و ولتاژهای خط

عموماً در روشهای جایابی خط از شکل موجه‌ای ولتاژ و جریان بازای مکانهای مختلف خط در پایان خط استفاده می‌شود. بنابراین داده‌های مورد آموزش توسط مراحل ذیل تعیین می‌گردند:

- ۱- شبیه سازی سیستم انتقال.
- ۲- ایجاد شکل موجه‌ای ولتاژ و جریان خط.
- ۳- پیش پردازش خط و خارج نمودن اطلاعات مفید
- ۴- طراحی بهترین توپولوژی شبکه
- ۵- آموزش شبکه با استفاده از داده‌های آموزش

## ۶- شبیه سازی سیستم انتقال توان

مطابق شکل (۳) شبیه سازی شبکه توان با استفاده از نرم افزار MATLAB انجام شده است. خط انتقال مورد استفاده مدل تک

$$|x^a| = |y^b \wedge w_{jk}^{ab}| \geq \rho_a |y^b| \quad (9-1)$$

یا مگر چنین نودی وجود نداشت، الگوی ورودی در لایه  $F_2^a$  مطابق با هیچ الگویی نبوده و عنوان الگوی جدید سه‌بنایی می‌شود.

d. آموزش لایه نگاشت

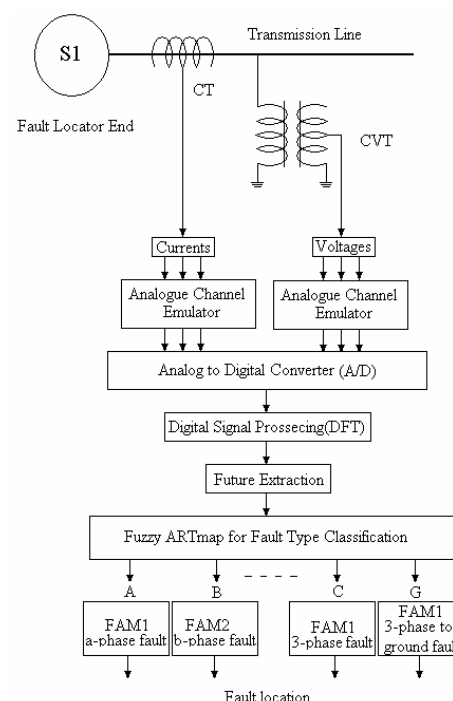
قوانین آموزش چگونگی تغییرات وزنهای لایه نگاشت  $w_{jk}^{ab}$  را در طول زمان آموزش تعیین می‌کند، وزنهای  $w_{jk}^{ab}$  از طریق مسیر  $F_2^a \rightarrow F^{ab}$  با توجه به رابطه زیر، تنظیم می‌شود

$$w_{jk}^{ab}(0) = 1 \quad (10-1)$$

در طول زمان تشیدی بافعال شدن دسته J در شبکه  $ART_a$ ، بردار لایه نگاشت  $x^{ab}$  معادل  $w_{jk}^{ab}$  خواهد شد. در زمان آموزش سریع یکبار نود J دسته  $ART_b$  از شبکه K را پیش‌بینی می‌کند، که ارتباط بین این دو نود بصورت دائم معادل  $w_{JK}^{ab} = 1$  خواهد شد.

## ۴- شمای مکانیابی خط‌براساس شبکه Fuzzy ARTmap

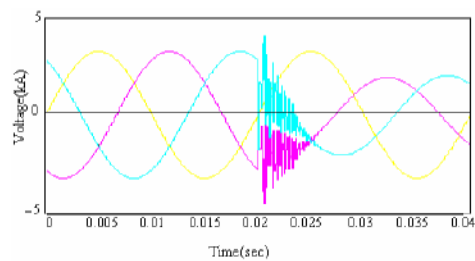
شمای مکانیابی خط در شکل (۲) نشان داده شده است. روش مورد استفاده بکارگیری شکل موجه‌ای جریان و ولتاژ انتهای خط می‌باشد.



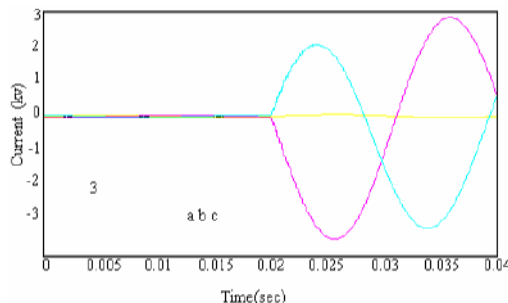


شکل موجه‌های ولتاژ و جریان را بازی خطا رخداده بین فازهای a و b نشان می‌دهد.

پس از شبیه سازی و تعیین شکل موجه‌های سیگنال خط، طیف فرکانسی سیگنالهای بدست آمده را محاسبه نموده و مقادیر با ارزش آنرا جداسازی می‌کنیم و بعنوان الگوی ورودی به شبکه عصبی ارائه خواهیم نمود. لازم بذکر است در شبکه عصبی یاد شده بردارانگوهای ورودی در لایه اولیه پیش پردازش دارای دو برابر ابعاد اولیه خواهند گردید، زیرا در این شبکه در بردار ورودی علاوه بر خود الگوی ورودی اولیه از متمم درایه‌های نرمالیزه شده آن نیز استفاده می‌شود.



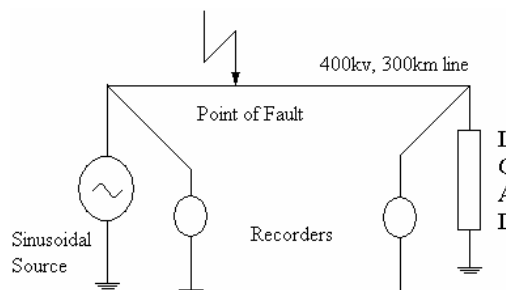
(a)



(b)

شکل (۴): شکل موج خطا بین فازهای a و b. (a) ولتاژهای سه فاز، (b) جریانهای سه فاز

خطی از شبکه ۴۰۰KV و ۱۰۰MVA می‌باشد. توالی صفر و مشتب پارامترهای خط انتقال بصورت زیر می‌باشند:  
 $X_0 = 3.2508 \text{ mH/km}$ ,  $R_0 = 0.38848 \Omega/\text{km}$ ,  
 $R_1 = 0.0233 \Omega/\text{km}$ ,  $C_0 = 0.0084 \mu\text{F}/\text{km}$ ,  
 $C_1 = 0.0123 \mu\text{F}/\text{km}$ ,  $X_1 = 0.95102 \text{ mH/km}$ . امپدانس ژنراتور و ترانسفورماتور با هم مقادیر  $\Omega(0.2 + j4.49)$  در نظر گرفته شده‌اند، در صورتیکه امپدانس بار معادل  $\Omega(720 + j1.111)$  بوده و بار دارای توان ۲۰۰MVA با ضریب توان ۰.۹ پس فاز می‌باشد و فرکانس سیستم ۵۰Hz در نظر گرفته شده است. در شبیه سازی فرکانس نمونه برداری هر فاز  $80 \mu\text{s}$  در زمان رخداد خطا در نظر گرفته شده است.



شکل (۳): سیستم خط انتقال ۴۰۰kv مورد استفاده در شبیه‌سازی

شبیه سازی های انجام شده نشان می دهد زاویه شروع رخداد خطا نیز موثر می باشد، بنابراین زاویه شروع خطاب نیز در بین محلوده ۰-۱۸۰ در آزمایش مورد بررسی و مطالعه قرار گرفته است. بازی هر یک از انواع خطوط و یک زاویه شروع مشخص، شبیه سازی برای محلهای خطوط در فاصله ۱۰km برای یک خط بطول ۳۰۰km انجام شده است که تعداد این نقاط خط متعادل ۳۱ نقطه می‌باشد. همچنین زاویه شروع خط در بازه مذکور بازی هر ۴۵ درجه و از صفر درجه شروع گردیده است. بنابراین تعداد کل نمونهای بدست آمده معادل ۱۷۰۵ نمونه در نظر گرفته شده است که از این تعداد ۱۶۰۵ نمونه از آن بعنوان نمونه‌های قابل آموزش به شبکه و تعداد ۱۰۰ نمونه بعنوان نمونه‌هایی جهت آزمون در نظر گرفته شده است.

## ۸- تحلیل نتایج داده‌های آزمون

به منظور تشریح عملکرد روش مذکور، ضرورتا از دو دسته داده استفاده شده است. در این روش با توجه تغییر پارامتر مراقبت در شبکه می‌توان دقت یادگیری شبکه را تغییر داد و بازی پارامترهای مراقبت نزدیک یک میتوان دسته بنده مناسبی از الگوهای ورودی

## ۷- نمونهای آموزشی و آزمون ارائه شده به شبکه

داده‌های آموزشی مطابق با شکل (۳) در یک شبکه ۴۰۰kv توسط نرم افزار MATLAB شبیه‌سازی گردیده‌اند. شکل (۴)



$$\text{error (\%)} = \frac{\text{actual location} - \text{desired location}}{\text{length of the line}} \times 100 \quad (1)$$

نتایج بدست آمده جهت تعیین محل خطأ در شبکه مذکور مطابق جدول (۱) بازای مقادیر مختلف پارامتر مراقبت بصورت ذیل میباشد.

بدست آورد، ابتدا با توجه به افزایش پارامتر مذکور، تعداد نزونهای شبکه افزایش خواهد یافت و بطور نوعی تعداد نزونهای بدست آمده بازای پارامتر مراقبت معادل  $\rho = 0.9$  ، برابر ۳۵ نزون خواهد شد و بازای پارامتر مراقبت معادل  $\rho = 0.98$  ، این تعداد به ۵۷ نزون خواهد رسید. لازم بذکر است در این شبکه تعداد نزونها با توجه نوع آموزش با ناظر و تعیین پارامتر مراقبت و همچنین آموزش بصورت عدم فراموشی و زمان حقیقی توسط شبکه تعیین میگردد و با توجه به پارامترهای مذکور تعداد نزونهای مورد نیاز توسط شبکه تعیین میشود.

همچنین خطای بدست آمده در نتایج شبیه سازی با استفاده از رابطه (۱) محاسبه گردیده است.

جدول (۱)؛ نتایج حاصله تعیین محل خطأ توسط داده های آزمون

خطا (%)	محل خطأ (km)		زاویه خطأ (°)	پارامتر مراقبت	نوع خطأ
	خروجی مطلوب	خروجی واقعی			
۰	۴۰	۴۰	۴۵	۰,۹۸	AG
۰	۱۴۵	۱۴۵	۴۵	۰,۹۵	AC
۱,۶۶	۲۵۵	۲۶۰	۴۵	۰,۹۵	BG
۰,۶۶	۴۸	۵۰	۹۰	۰,۹۸	BC
۰,۳۳	۸۱	۸۰	۰	۰,۹۵	AB
۳,۳۳	۱۲۰	۱۱۰	۰	۰,۹	BCG
۰	۱۲۰	۱۲۰	۰	۰,۹۸	BCG
۱,۶۶	۱۰۵	۱۰۰	۰	۰,۹	ABG
۱,۳۳	۱۴	۱۰	۹۰	۰,۹۸	ABC
۰,۶۶	۲۱۸	۲۲۰	۴۵	۰,۹۵	ABC

بیشتری پیشگویی می‌شوند، بنابراین همانطوریکه مشاهده میشود در این حالت می‌توان به خطاهایی در حدود صفر نیز دست پیدا نمود که از لحاظ پیشگویی از اهمیت بسیاری برخوردار است.

## ۹- نتیجه گیری

همانطور که از نتایج جدول مشاهده می‌شود، بازای پارامترهای مراقبت نزدیک مقدار یک با توجه به تعداد بیشتر نزونها دقت پاسخگویی بسیار افزایش می‌یابد و انگوهای مورد آموزش در دسته هایی به مراتب کوچکتر قرار گرفته و انگوهای آزمون با دقت



recognition architectures,” Neural Networks, 3, 129-152.

[۶] **G. A Carpenter, S Grossberg, & J.H.Reynolds.** “ARTMAP: Supervised real time learning and classification of nonstationary data by a self-organizing neural network,” Neural Networks, 4, 565-588, (1990b).

[۷] **G. A Carpenter, S Grossberg, D. B. Rosen,** “Fuzzy ART: Fast Stable Learning and Categorization of Analog pattern by an adaptive resonance system.”, Neural Networks, Vol 4, pp 759-771, June 1991.

[۸] **G. A Carpenter, S Grossberg, N Markuzon, J. H. Reynolds, and D. B. Rosen,** “Fuzzy ARTMAP:A neural network architecture for incremental supervised learning of analog multidimensional maps”, IEEE Trans.Neural Networks, vol, 3 pp. 698-705, sep. 1992.

[۹] **S. Marriot , Rbert F .Harrisson** ”A Modified Fuzzy ARTMAP Architecture For The Approximation of Noisy Mapings”, IEEE Neural Networks, Vol.8, No.4, pp.619-641,1995.

[۱۰] **L, Zadeh (1965),** Fuzzy sets, Information and Control, 8, 338-353.

[۱۱] محسن چیت ساز، ناصر ساداتی، مهرداد عابدی، ” تشخیص انواع خطأ در شبکه‌های انتقال با استفاده از شبکه‌های عصبی کارشناسی ارشد. ۱۳۸۱

[۱۲] محسن چیت ساز، ” روشی نو جهت ارائه الگوهای بایزی به شبکه‌های عصبی Fuzzy ARTmap ”، دوازدهمین کنفرانس بین‌المللی کامپیوتر، دانشگاه شهید بهشتی-۱۳۸۵.

در این مقاله یک شبکه عصبی مصنوعی که علاوه بر دسته بنده خط، محل خط را در خطوط انتقال EHV نیز تعیین می نماید شرح داده شد. از این روش میتوان بصورت سخت افزاری و همچنین بطور زمان حقيقی در شبکه های سراسری بهره جست. در اینجا ما از داده های ولتاژ و جریان خط در یک طرف خط استفاده نمودیم، که همانطوریکه در بخش قبل مشاهده شد این شبکه عصبی بازی افزایش پارامتر مراقبت دارای دقت بسیار بالایی می باشد و در برخی از موارد خط را به صفر خواهد رسید. همانطوریکه ملاحظه شد افزایش پارامتر مراقبت باعث افزایش تعداد نزونهای شبکه خواهد شد و در برخی از موارد که نیاز به دقت بسیار بالایی می باشد عموما می توان پارامتر مراقبت را تا مقداری نزدیک مقدار یک یا دقت تا حد صد درصد را در نظر گرفت تا دقت مورد نظر حاصل شود. استفاده از این روش باعث سرعت بالا در تشخیص محل خط، دقت محل رخداد خط و تعیین نوع خط خواهد گردید، که در بهبود کیفیت شبکه توان موثر است.

#### ۴- مراجع

[۱] A.J. Mazon, I. Zamora, J.F. Minambres, M.A. Zorrozua, J.J. Barandiaran, K. Sagastabeitia, “ A new approach to fault location in two-terminal transmission lines using artifical neural networks”, Electric Power Systems Research 56 (2000) 261-266.

[۲] M. Joorabian, S.M.A Taleghani Asl, R.K. Aggarwal “ Accurate fault locator for EHV transmission lines based on radial basis function neural networks” , Electrical Power Systems Research 71 (2004) 195-202.

[۳] Georgopoulos, M. Heileman, G. L. & Hung, J (1990), “Convergence properties of learning in ART1,” Neural Computation, 2(4), 502-509.

[۴] **G. A Carpenter, & S Grossberg, (1987b).** “ ART 2: Stable self organization of pattern recognition codes for analog input paterns.” Applied Optics, 26, 4919-4930.

[۵] **G. A Carpenter, & S Grossberg, (1990b).** “ ART 3: search using chemical transmitters in self – organization pattern